

ВЫСОКОМОЛЕКУЛЯРНЫЕ СОЕДИНЕНИЯ

Том (A) XVIII

№ 5

1976

УДК 541.64:536.7

МЕТОД ПОСТРОЕНИЯ ДИАГРАММ ФАЗОВОГО СОСТОЯНИЯ СИСТЕМ ПОЛИМЕР — КРИСТАЛЛИЧЕСКИЙ ПЛАСТИФИКАТОР

B. A. Головин, Ю. М. Лотманцев, В. А. Андреев

Предложен метод построения диаграммы фазового состояния систем полимер — кристаллический пластификатор, основанный на изучении термодинамических свойств концентрированных полимерных растворов в области температур, превышающих температуру плавления $T_{\text{пл}}$ пластификатора. Результаты определения температур фазового равновесия, рассчитанных по предложенному методу, сопоставлены с результатами непосредственного определения $T_{\text{пл}}$ оптическим методом. Показано, что предложенный метод позволяет проводить быстрое определение температуры кристаллизации пластификатора из полимерного раствора с достаточной точностью. Применение метода для изучения фазового равновесия в системе полимерный раствор — кристаллический пластификатор позволяет отказаться от длительного термостатирования растворов при низких температурах. Метод может быть использован для изучения широкого круга систем полимер — пластификатор.

Наиболее общим способом описания фазового расслоения в полимерных растворах, в том числе процессов кристаллизации пластификатора, является построение диаграмм фазового состояния. По аналогии с низкомолекулярными растворами в полимерных растворах также должно наблюдаться снижение температуры кристаллизации как полимера, так и растворителя. При изучении системы желатина — вода [1, 2] было экспериментально показано снижение температуры плавления растворителя, особенно сильное в области малого содержания низкомолекулярного компонента. Однако в работах [3, 4] для ряда систем полимер — пластификатор в процессе калориметрических исследований наблюдалась кристаллизация только «несвязанного», т. е. не участвующего в сольватации полимерных цепей пластификатора, причем некоторое снижение температуры плавления пластификаторов авторы объясняют влиянием примесей. В связи с этим необходимо отметить, что при низких температурах протекание процессов кристаллизации затруднено в связи с малой скоростью протекания релаксационных процессов и вследствие этого возможностью длительного нахождения раствора в переохлажденном состоянии.

В этих случаях прямые экспериментальные методы построения кривой кристаллического равновесия становятся мало надежными и при работе с неравновесными системами могут привести к ошибочным выводам. Вследствие этого было бы целесообразно для построения кривых кристаллизации пластификатора проводить исследования в условиях, обеспечивающих достаточно быстрое протекание релаксационных процессов. Цель данной

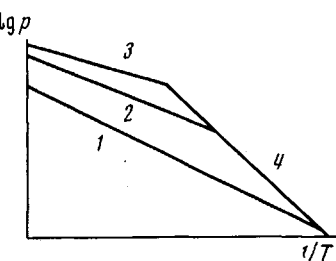


Рис. 1. Схема расчета температур кристаллизации пластификатора:

1 и 2 — температурные зависимости давления пара для составов с различным содержанием пластификатора, 3 и 4 — то же для жидкого и кристаллического пластификатора

работы — разработка расчетного метода построения кривых кристаллизации растворителей из концентрированных полимерных растворов на основании изучения термодинамических свойств растворов в области температур выше $T_{\text{пл}}$ пластификатора.

В соответствии с термодинамикой процессов смешения условием равновесия раствора пластификатора в полимере с кристаллами пластификатора является равенство их химических потенциалов

$$\Delta\mu_i = \mu_i^{\text{p}} - \mu_i^0 = 0, \quad (1)$$

где μ_i^{p} — химический потенциал пластификатора в полимерном растворе; $\mu_i^0 = \Delta G_i^0$ — свободная энергия пластификатора в кристаллическом состоянии. В соответствии с известным соотношением

$$\Delta\mu_i = RT \ln p_i / p_i^0 \quad (2)$$

(p_i и p_i^0 — давление насыщенного пара над полимерным раствором и пластификатором соответственно) и условием равновесия (1) равновесная $T_{\text{пл}}$ может быть определена как температура, при которой давление пара пластификатора над раствором равно давлению пара над кристаллами пластификатора. Известно, что температурные зависимости давления насыщенного пара над пластификатором и полимерными растворами в координатах $\lg p_i = f(1/T)$ могут быть представлены прямыми линиями. Исходя из этого, для графического определения температур кристаллизации использовали схему расчета, приведенную на рис. 1. Равновесную температуру кристаллизации определяли как абсциссу точки пересечения зависимостей $\lg p_i = f(1/T)$ для пластифицированного полимера и кристаллического пластификатора.

Необходимо отметить, что если температурная зависимость давления пара над кристаллическим пластификатором не может быть определена экспериментально, например в случае низкой $T_{\text{пл}}$ растворителя, зависимость $\lg p_i^0 = f(1/T)$ ниже $T_{\text{пл}}$ может быть рассчитана по уравнению Клаузиуса — Капейрона $\partial \ln p / \partial (1/T) = -\Delta H_{\text{субл}}/R$, где $\Delta H_{\text{субл}} = \Delta H_{\text{исп}} + \Delta H_{\text{пл}}$ ($\Delta H_{\text{субл}}$, $\Delta H_{\text{исп}}$, $\Delta H_{\text{пл}}$ — теплоты сублимации, испарения и плавления соответственно), если известны зависимость $\lg p_i^0 = f(1/T)$ для жидкого пластификатора, его $T_{\text{пл}}$ и $\Delta H_{\text{пл}}$.

Температуры кристаллизации в данном случае могут быть определены экстраполяцией зависимостей $\lg p_i = f(1/T)$ для полимерных растворов до пересечения с зависимостью $\lg p_i^0 = f(1/T)$, построенной для кристаллического пластификатора.

Для проверки возможности использования предлагаемого метода было изучено фазовое равновесие в модельной системе на основе нитрата целлюлозы (НЦ). В качестве кристаллизующегося пластификатора использовали 2,4-динитротолуол (ДНТ). Содержание азота в НЦ = 12,0%, вязкость 2%-ного раствора в ацетоне при $25^{\circ} = 2,6$ э. В работе использовали 2,4-динитротолуол, чистый, $T_{\text{пл}} = 70^{\circ}$. Смешение компонентов проводили в водной среде при 80° . После отжима воды проводили вальцевание на лабораторных вальцах при $75-100^{\circ}$.

Для измерения давления пара в работе использовали статический метод [5]. Непосредственное определение $T_{\text{пл}}$ проводили с помощью оптического микрометода [6], позволяющего фиксировать процесс плавления по изменению интенсивности поляризованного света, проходящего через образец. Исследования проводили после появления на поверхности образца, хранившегося при комнатной температуре, кристаллов пластификатора в режиме непрерывного нагрева со скоростью 3 град/мин.

На рис. 2 представлены температурные зависимости давления насыщенного пара над системой НЦ — ДНТ и кристаллическим ДНТ. Как видно, все зависимости в координатах $\lg p_i = f(1/T)$ могут быть представлены прямыми линиями. Это дает возможность простого нахождения температур кристаллизации пластификатора из полимерного раствора линейной

экстраполяцией температурных зависимостей давления пара над полимерным раствором до пересечения с температурной зависимостью давления пара над кристаллическим пластификатором. Непосредственное определение $T_{пл}$ пластификатора было проведено оптическим микрометодом. Сопоставление $T_{пл}$ пластификатора в системе НЦ—ДНТ, определенных исходя из температурной зависимости давления пара, с результатами непосредственного определения оптическим микрометодом приведено на рис. 3. Как видно из рисунка, предложенный метод определения $T_{пл}$ пластификатора в полимерном растворе по температурной зависимости давления пара обладает достаточно высокой точностью, отклонение расчетных зна-

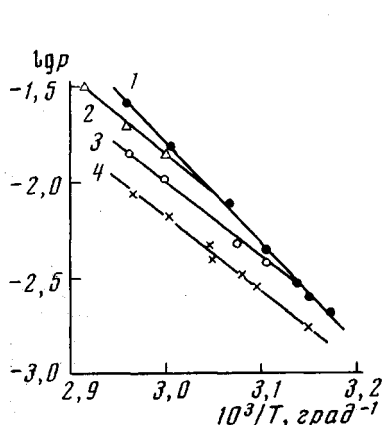


Рис. 2

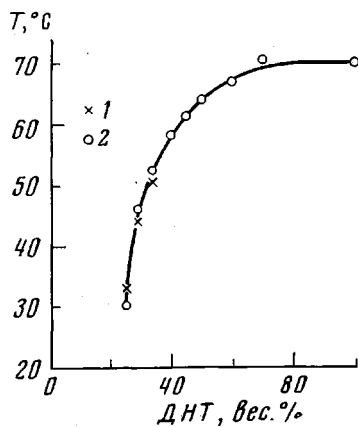


Рис. 3

Рис. 2. Зависимость логарифма давления насыщенного пара ДНТ от обратной температуры для ДНТ (1) и систем НЦ—ДНТ с содержанием пластификатора 35 (2), 30 (3) и 25 вес.% (4)

Рис. 3. Зависимость температуры плавления ДНТ от его содержания в системе НЦ—ДНТ, определенная расчетным (1) и оптическим методами (2)

чений $T_{пл}$ от определенных оптическим микрометодом не превышает $\pm 2-3^\circ$.

К другим достоинствам метода можно отнести то, что отпадает необходимость в длительном термостатировании пластифицированного полимера, что особенно важно при использовании пластификаторов, имеющих низкие $T_{пл}$ и при изучении кристаллизации из растворов с низким содержанием пластификатора, время начала кристаллизации из которых может быть очень большим (так, например, из системы НЦ—ДНТ с содержанием 25 вес.% ДНТ кристаллизация началась после 12 месяцев хранения при 20°).

Московский химико-технологический
институт им. Д. И. Менделеева

Поступила в редакцию
20 VI 1975

ЛИТЕРАТУРА

1. V. Gröbe, Faserforsch. und Textiltechn., 21, 441, 1970.
2. T. Moran, Kolloid-Z., 59, 217, 1932.
3. Л. Я. Мартыненко, И. Б. Рабинович, Ю. В. Овчинников, Высокомолек. соед., B12, 696, 1970.
4. Л. Я. Мартыненко, И. Б. Рабинович, Ю. В. Овчинников, В. А. Маслова, Высокомолек. соед., A12, 841, 1970.
5. В. А. Головин, Ю. М. Лотменцев, Р. И. Шнеерсон, Высокомолек. соед., A17, 2351, 1975.
6. Ю. М. Лотменцев, Н. В. Лукьянова, Р. А. Малахов, З. С. Исаева, Высокомолек. соед., A16, 2153, 1974.